

**Н. К. Кривулин**

## **Алгебраические модели сетей с очередями\***

В работе рассматривается класс моделей сетей с очередями, в которых наряду с обычными процедурами обслуживания требований могут выполняться вспомогательные операции «объединения» (join) и «разъединения» (fork). Указанные операции обеспечивают возможность объединения (сборки) нескольких требований в одно, а также разъединения (расщепления) требования на несколько новых требований в процессе работы системы. Такие модели обычно называют сетями с объединением-разъединением требований (fork-join queueing networks) или сетями с синхронизацией поступления и убытия требований [1].

Модели сетей с синхронизацией оказываются весьма полезными при описании производственных систем, бизнес-процессов, сетей передачи сообщений, вычислительных систем и т. п. Примером операций объединения-разъединения в реальных системах может служить разделение сообщения на отдельные пакеты, предназначенные для передачи по различным маршрутам в сети передачи сообщений, и восстановление сообщения из пакетов в конечном пункте его доставки. Другие примеры можно найти в [1].

Особенностью рассматриваемого класса моделей является возможность применения аппарата идемпотентной алгебры [2, 3] для описания и анализа динамики системы. Ниже будет показано, что любая система рассматриваемого класса может быть описана при помощи обобщенного линейного уравнения

$$\mathbf{x}(k) = \mathbf{A}(k) \otimes \mathbf{x}(k-1), \quad (1)$$

где  $\mathbf{x}(k)$  – вектор, описывающий  $k$ -е состояние системы,  $\mathbf{A}(k)$  – некоторая переходная матрица,  $\otimes$  – операция умножения идемпотентной алгебры.

Применение аппарата идемпотентной алгебры, который позволяет описывать динамику сетей в компактной форме при помощи уравнений вида (1), открывает новые возможности для исследования сетей с очередями. В частности, алгебраический подход оказывается достаточно продуктивным при изучении стохастических моделей сетей, для которых вектор  $\mathbf{x}(k)$  и матрица  $\mathbf{A}(k)$  являются случайными, а уравнение (1) представляет собой стохастическое обобщенное разностное уравнение (см., например, [4–7]).

Наконец, возможность описания динамики системы при помощи уравнения (1) оказывается весьма полезной при разработке эффективных универсальных алгоритмов и процедур имитационного моделирования сетей с очередями, включая алгоритмы и процедуры, предназначенные для моделирования с использованием многопроцессорных параллельных вычислительных систем [8].

---

\* Работа выполнена при поддержке гранта РФФИ № 00-01-00760.

© Н. К. Кривулин, 2001

### Идемпотентная алгебра

Рассмотрим множество вещественных чисел  $R_\epsilon$ , расширенное путем добавления элемента  $\epsilon = -\infty$ , и предположим, что на множестве  $R_\epsilon$  заданы операции  $\oplus$  и  $\otimes$ , которые для любых  $x, y \in R_\epsilon$  определяются следующим образом:

$$x \oplus y = \max(x, y), \quad x \otimes y = x + y,$$

причем  $x \otimes \epsilon = \epsilon \otimes x = \epsilon$ .

Нетрудно видеть, что операции  $\oplus$  и  $\otimes$  обладают многими свойствами обычного сложения и умножения, включая коммутативность, ассоциативность и дистрибутивность операции  $\otimes$  относительно  $\oplus$ . В силу этих свойств в рассматриваемой алгебре могут применяться многие обычные правила записи и преобразования алгебраических выражений, включая порядок выполнения операций и правила раскрытия скобок.

Заметим, что для любого числа  $x \neq \epsilon$  существует обратный относительно операции  $\otimes$  элемент  $x^{-1}$ , который равен числу  $-x$  в обычной арифметике. В то же время, операция  $\oplus$  является идемпотентной, т. е. для любого  $x \in R_\epsilon$  выполняется  $x \oplus x = x$ .

Множество с указанными свойствами обычно называют идемпотентной алгеброй (см., например, [3]).

Идемпотентная алгебра вещественных матриц вводится обычным путем: для любых двух матриц  $\mathbf{A} = (a_{ij})$  и  $\mathbf{B} = (b_{ij})$  размера  $n \times n$  выполнение операций  $\oplus$  и  $\otimes$  осуществляется по формулам

$$\{\mathbf{A} \oplus \mathbf{B}\}_{ij} = a_{ij} \oplus b_{ij}, \quad \{\mathbf{A} \otimes \mathbf{B}\}_{ij} = \bigoplus_{k=1}^n a_{ik} \otimes b_{kj}.$$

Матрицы

$$\mathbf{\Sigma} = \begin{pmatrix} \epsilon & \dots & \epsilon \\ \vdots & \ddots & \vdots \\ \epsilon & \dots & \epsilon \end{pmatrix}, \quad \mathbf{E} = \begin{pmatrix} 0 & & \epsilon \\ & \ddots & \vdots \\ \epsilon & & 0 \end{pmatrix}$$

являются нулевым и единичным элементами соответственно.

Пусть  $\mathbf{A} \neq \mathbf{\Sigma}$  – квадратная матрица. Как обычно, положим

$$\mathbf{A}^0 = \mathbf{\Sigma}, \quad \mathbf{A}^k = \mathbf{A} \otimes \mathbf{A}^{k-1} = \mathbf{A}^{k-1} \otimes \mathbf{A}$$

для любого целого  $k \geq 1$ . Заметим, что в рассматриваемой алгебре обратная матрица существует только для диагональных матриц, которые имеют вид

$$\mathbf{D} = \begin{pmatrix} d_1 & & \epsilon \\ & \ddots & \vdots \\ \epsilon & & d_n \end{pmatrix},$$

где  $d_i > \epsilon$ ,  $i = 1, \dots, n$ , а также для матриц, которые могут быть получены из диагональных путем перестановки строк и столбцов.

Любая квадратная матрица  $\mathbf{A} = (a_{ij})$  размера  $n \times n$  может рассматриваться как обобщенная матрица смежности некоторого ориентированного графа с  $n$  вершинами. При этом предполагается, что любой элемент  $a_{ij} \neq \varepsilon$  соответствует наличию дуги  $(i, j)$  в графе, а элемент  $a_{ij} = \varepsilon$  – ее отсутвию.

Рассмотрим матрицу  $\mathbf{A}'' = (a_{ij}^{(m)})$ . Нетрудно понять, что равенство  $a_{ij}^{(m)} \neq \varepsilon$  выполняется тогда и только тогда, когда в графе существует путь из вершины  $i$  в вершину  $j$ , состоящий из  $m$  дуг. Очевидно, что если граф ациклический, то  $\mathbf{A}^q = \mathbf{E}$  для всех  $q > p$ , где  $p$  – длина наибольшего пути в графе.

### Сети с синхронизацией передвижения требований

Рассмотрим сеть, состоящую из  $n$  узлов, в каждом из которых имеется обслуживающее устройство и накопитель, предназначенный для размещения требований, ожидающих обслуживания. Топология сети описывается ориентированным ациклическим графом  $\langle N, A \rangle$ , где  $N = \{1, \dots, n\}$  – множество вершин графа, соответствующих узлам сети, а  $A = \{(i, j)\} \subset N \times N$  – множество дуг графа, определяющих маршруты движения требований.

Для любого узла  $i \in N$  определим множества узлов

$$P(i) = \{j \mid (j, i) \in A\}, \quad S(i) = \{j \mid (i, j) \in A\}.$$

Каждый узел  $i$ , для которого  $P(i) = \emptyset$ , рассматривается как источник бесконечного потока требований, поступающих в систему. Требования выводятся из системы после обслуживания в узлах  $i$ , для которых  $S(i) = \emptyset$ .

В начальный момент времени все обслуживающие устройства сети свободны, очередь требований в каждом узле-источнике имеет бесконечную длину, а очередь в любом другом узле  $i$  содержит  $c_i$ ,  $0 \leq c_i < \infty$ , требований.

Предполагается, что процессы обслуживания требований в узлах сети удовлетворяют некоторым ограничениям по синхронизации. Механизмы синхронизации реализуются при помощи вспомогательных операций объединения и разъединения, которые выполняются в узлах соответственно до и после обслуживания требования [1]. Выполнение операции объединения в узле  $i$  состоит в том, что требование не присоединяется к очереди до тех пор, пока в узел не поступит по одному требованию из каждого узла  $j \in P(i)$ . Указанные требования объединяются в одно, которое затем присоединяется к очереди требований, ожидающих обслуживания в узле  $i$ .

Операция разъединения в узле  $i$  выполняется всякий раз, когда завершается обслуживание очередного требования. При этом требование замещается новыми требованиями, количество которых равно числу узлов множества  $S(i)$ . Затем новые требования одновременно покидают узел  $i$  и направляются по одному в каждый из узлов  $j \in S(i)$ .

Предполагается, что операции объединения и разъединения, а также перемещение требований в сети от узла к узлу осуществляются мгновенно.

Обозначим через  $\tau_{ik}$  продолжительность, а через  $u_i(k)$  и  $x_i(k)$  – моменты времени начала и завершения  $k$ -го обслуживания в узле  $i$  соответственно. При

условии, что система начинает функционировать в нулевой момент времени, положим  $x_i(0) = 0$  и  $x_i(k) = \infty$  для всех  $k < 0$ ,  $i = 1, \dots, n$ .

Нетрудно видеть, что динамика сети может быть описана следующими двумя уравнениями [9–11]:

$$x_i(k) = \max \{u_i(k), x_i(k-1)\} + \tau_{ik}, \quad (2)$$

$$u_i(k) = \begin{cases} \max_{j \in P(i)} x_j(k - c_j), & \text{если } P(i) \neq \emptyset, \\ \epsilon, & \text{если } P(i) = \emptyset. \end{cases} \quad (3)$$

### Динамическое уравнение

Используя операции  $\otimes$  и  $\oplus$ , можно представить уравнения (2) и (3) в эквивалентной форме:

$$x_i(k) = \tau_{ik} \otimes (u_i(k) \oplus x_i(k-1)), \quad (4)$$

$$u_i(k) = \begin{cases} \bigoplus_{j \in P(i)} x_j(k - c_j), & \text{если } P(i) \neq \emptyset, \\ \epsilon, & \text{если } P(i) = \emptyset. \end{cases} \quad (5)$$

Чтобы записать полученные уравнения в матричном виде, введем обозначения:

$$\mathbf{x}(k) = \begin{pmatrix} x_1(k) \\ \vdots \\ x_n(k) \end{pmatrix}, \quad \mathbf{u}(k) = \begin{pmatrix} u_1(k) \\ \vdots \\ u_n(k) \end{pmatrix}, \quad \mathbf{T}_k = \begin{pmatrix} \tau_{1k} & & \epsilon \\ & \ddots & \\ \epsilon & & \tau_{nk} \end{pmatrix}.$$

Пусть  $M = \max\{c_i \mid c_i < \infty, i = 1, \dots, n\}$ . Введем матрицы  $\mathbf{G}_m = (g''_{ij})$ , элементы которых определяются для каждого  $m = 1, \dots, M$  следующим образом:

$$g''_{ij} = \begin{cases} 0, & \text{если } i \in P(j) \text{ и } m = c_j, \\ \epsilon & \text{в противном случае.} \end{cases} \quad (6)$$

Ясно, что каждая матрица  $\mathbf{G}_m$  может рассматриваться как обобщенная матрица смежности частичного графа  $\langle N, A_m \rangle$ , где  $A_m = \{(i, j) \mid i \in P(j), c_j = m\}$ .

Теперь уравнения (4) и (5) могут быть записаны в матричном виде так:

$$\mathbf{x}(k) = \mathbf{T}_k \otimes (\mathbf{u}(k) \oplus \mathbf{x}(k-1)), \quad (7)$$

$$\mathbf{u}(k) = \bigoplus_{m=0}^M \mathbf{G}_m^T \otimes \mathbf{x}(k-m). \quad (8)$$

Подставляя второе уравнение в первое, получим неявное относительно  $\mathbf{x}(k)$  уравнение

$$\mathbf{x}(k) = \mathbf{T}_k \otimes \mathbf{G}_0^T \otimes \mathbf{x}(k) \oplus \mathbf{T}_k \otimes \mathbf{x}(k-1) \oplus \mathbf{T}_k \otimes \bigoplus_{m=1}^M \mathbf{G}_m^T \otimes \mathbf{x}(k-m). \quad (9)$$

Нетрудно проверить справедливость следующего утверждения [11].

**Лемма 1.** Пусть подграф сети, соответствующий матрице  $\mathbf{G}_0$ , ациклический,  $p$  – длина наибольшего пути в этом графе. Тогда уравнение (9) может быть решено относительно  $\mathbf{x}(k)$  в виде

$$\mathbf{x}(k) = \bigoplus_{m=1}^M \mathbf{A}_m(k) \otimes \mathbf{x}(k-m), \quad (10)$$

где

$$\begin{aligned} \mathbf{A}_1(k) &= (\mathbf{E} \oplus \mathbf{T}_k \otimes \mathbf{G}_0^T)^p \otimes \mathbf{T}_k \otimes (\mathbf{E} \oplus \mathbf{G}_1^T), \\ \mathbf{A}_m(k) &= (\mathbf{E} \oplus \mathbf{T}_k \otimes \mathbf{G}_0^T)^p \otimes \mathbf{T}_k \otimes \mathbf{G}_m^T, \quad m = 2, \dots, M. \end{aligned}$$

Введем расширенный вектор состояний и расширенную матрицу системы следующим образом:

$$\tilde{\mathbf{x}}(k) = \begin{pmatrix} \mathbf{x}(k) \\ \mathbf{x}(k-1) \\ \vdots \\ \mathbf{x}(k-M+1) \end{pmatrix}, \quad \tilde{\mathbf{A}}(k) = \begin{pmatrix} \mathbf{A}_1(k) & \mathbf{A}_2(k) & \dots & \mathbf{A}_M(k) \\ \mathbf{E} & \mathbf{E} & \dots & \mathbf{E} \\ \vdots & \vdots & \ddots & \vdots \\ \mathbf{E} & \mathbf{E} & \mathbf{E} & \mathbf{E} \end{pmatrix}.$$

Тогда, очевидно, динамическое уравнение системы может быть представлено в виде:

$$\tilde{\mathbf{x}}(k) = \tilde{\mathbf{A}}(k) \otimes \tilde{\mathbf{x}}(k-1). \quad (11)$$

### Сети с конечной емкостью накопителей и блокированием

Будем предполагать, что емкость накопителей в некоторых узлах сети является конечной. В сетях с ограниченной емкостью накопителей возможно блокирование (запрет) передвижения требований от одного узла к другому, например из-за отсутствия свободного места в накопителе узла, в который направляется требование. Различают два основных типа блокировки: производственный тип (manufacturing blocking) и коммуникационный тип (communication blocking) [8, 12, 13].

*Производственный тип* блокировки. Этот тип блокировки является характерным для моделей производственных процессов. Например, сборка готовых изделий и передача их на склад готовой продукции могут быть приостановлены ввиду отсутствия свободного места на складе. Производственный механизм блокирования заключается в том, что требование после завершения обслуживания не может освободить обслуживающее устройство и перейти в следующий узел, если накопитель этого узла заполнен другими требованиями. Обозначим через  $b_i$ ,  $0 \leq b_i \leq \infty$ , емкость накопителя в узле  $i$ , а через  $v_i(k)$  – момент времени, когда накопители во всех узлах  $j \in S(i)$  сети будут иметь по крайне мере одно свободное место. Ясно, что тогда уравнение (4) примет вид

$$x_i(k) = \tau_{ik} \otimes (u_i(k) \oplus x_i(k-1)) \oplus v_i(k), \quad (12)$$

где

$$v_i(k) = \begin{cases} \bigoplus_{j \in S(i)} x_j(k - b_j - 1), & \text{если } S(i) \neq \emptyset, \\ \varepsilon, & \text{если } S(i) = \emptyset. \end{cases}$$

Пусть

$$M_1 = \max \{c_i \mid c_i < \infty, i = 1, \dots, n\} \quad \text{и} \quad M_2 = \max \{b_i + 1 \mid b_i < \infty, i = 1, \dots, n\}$$

Введем вектор  $\mathbf{v}(k) = (v_1(k), \dots, v_n(k))^T$  и матрицы  $\mathbf{H}_m = (h_{ij}^m)$ ,  $m = 1, \dots, M_2$ , с элементами

$$h_{ij}^m = \begin{cases} 0, & \text{если } j \in S(i) \text{ и } m = b_j + 1, \\ \varepsilon & \text{в противном случае.} \end{cases}$$

Теперь запишем уравнение (10) в матричной форме:

$$\mathbf{v}(k) = \bigoplus_{m=1}^{M_2} \mathbf{H}_m \otimes \mathbf{x}(k - m).$$

Ясно, что можно считать  $M_1 = M_2 = M$ . Если на самом деле  $M_2 > M_1$ , то положим  $\mathbf{G}_m = \mathbf{\Sigma}$  для всех  $m = M_1 + 1, M_1 + 2, \dots, M_2$ .

Наконец, с учетом (9) уравнение (12) в матричной форме принимает вид

$$\mathbf{x}(k) = \mathbf{T}_k \otimes \mathbf{G}_0^T \otimes \mathbf{x}(k) \oplus \mathbf{T}_k \otimes \mathbf{x}(k-1) \oplus \bigoplus_{m=1}^M (\mathbf{T}_k \otimes \mathbf{G}_m^T \oplus \mathbf{H}_m) \otimes \mathbf{x}(k-m). \quad (13)$$

*Коммуникационный тип блокировки.* Предположим, в сети действует правило, при котором обслуживание требования в узле  $i$  не начинается до тех пор, пока в каждом из узлов  $j \in S(i)$  не окажется свободного места. Такой механизм блокирования отражает особенности работы коммуникационных сетей, в которых обработка пакета данных начинается только тогда, когда имеется свободный канал для его дальнейшей передачи.

Используя обозначения, введенные выше, можно записать соответствующее уравнение для  $x_i(k)$ :

$$x_i(k) = \tau_{ik} \otimes (u_i(k) \oplus x_i(k-1) \oplus v_i(k)),$$

а также векторное уравнение

$$\mathbf{x}(k) = \mathbf{T}_k \otimes \mathbf{G}_0^T \otimes \mathbf{x}(k) \oplus \mathbf{T}_k \otimes \mathbf{x}(k-1) \oplus \mathbf{T}_k \otimes \bigoplus_{m=1}^M (\mathbf{G}_m^T \oplus \mathbf{H}_m) \otimes \mathbf{x}(k-m). \quad (14)$$

Справедливо следующее утверждение [11].

**Лемма 2.** Пусть в сети с ограниченной емкостью накопителей подграф, соответствующий матрице  $\mathbf{G}_0$ , является ациклическим,  $p$  – длина наибольшего пути в этом графе. Тогда уравнения (13) и (14) могут быть решены относительно  $\mathbf{x}(k)$

в виде (10) с матрицами  $\mathbf{A}_1, \dots, \mathbf{A}_M$ , которые для уравнения (13) определяются так:

$$\begin{aligned}\mathbf{A}_1(k) &= (\mathbf{E} \oplus \mathbf{T}_k \otimes \mathbf{G}_0^T)^p \otimes (\mathbf{T}_k \oplus \mathbf{T}_k \otimes \mathbf{G}_1^T \oplus \mathbf{H}_1), \\ \mathbf{A}_m(k) &= (\mathbf{E} \oplus \mathbf{T}_k \otimes \mathbf{G}_0^T)^p \otimes (\mathbf{T}_k \otimes \mathbf{G}_m^T \oplus \mathbf{H}_m), \quad m = 2, \dots, M,\end{aligned}$$

а для уравнения (14) так:

$$\begin{aligned}\mathbf{A}_1(k) &= (\mathbf{E} \oplus \mathbf{T}_k \otimes \mathbf{G}_0^T)^p \otimes \mathbf{T}_k \otimes (\mathbf{E} \oplus \mathbf{G}_1^T \oplus \mathbf{H}_1), \\ \mathbf{A}_m(k) &= (\mathbf{E} \oplus \mathbf{T}_k \otimes \mathbf{G}_0^T)^p \otimes \mathbf{T}_k \otimes (\mathbf{G}_m^T \oplus \mathbf{H}_m), \quad m = 2, \dots, M.\end{aligned}$$

### Примеры моделей сетей

Рассмотрим сеть с неограниченной емкостью накопителей в узлах, представленную на рис. 1 [11].

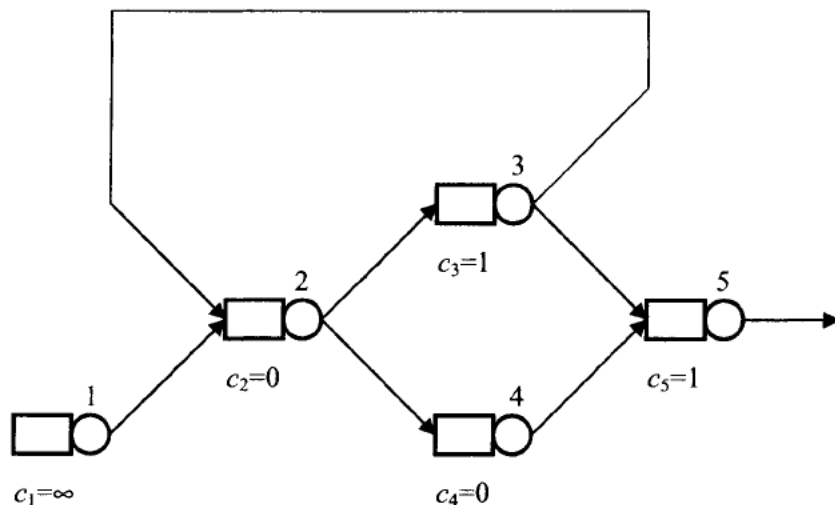


Рис. 1. Сеть с синхронизацией движения требований

Ясно, что для рассматриваемой сети  $M = 1$ . Используя (6), найдем матрицы:

$$\mathbf{G}_0 = \begin{pmatrix} \epsilon & 0 & \epsilon & \epsilon & \epsilon \\ \epsilon & \epsilon & \epsilon & 0 & \epsilon \\ \epsilon & 0 & \epsilon & \epsilon & \epsilon \\ \epsilon & \epsilon & \epsilon & \epsilon & \epsilon \\ \epsilon & \epsilon & \epsilon & \epsilon & \epsilon \end{pmatrix}, \quad \mathbf{G}_1 = \begin{pmatrix} \epsilon & \epsilon & \epsilon & \epsilon & \epsilon \\ \epsilon & \epsilon & 0 & \epsilon & \epsilon \\ \epsilon & \epsilon & \epsilon & \epsilon & 0 \\ \epsilon & \epsilon & \epsilon & \epsilon & 0 \\ \epsilon & \epsilon & \epsilon & \epsilon & \epsilon \end{pmatrix}.$$

Учитывая, что длина наибольшего пути  $p=2$ , приходим к уравнению (1) с матрицей

$$\mathbf{A}(k) = (\mathbf{E} \oplus \mathbf{T}_k \otimes \mathbf{G}_0^T)^2 \otimes \mathbf{T}_k \otimes (\mathbf{E} \oplus \mathbf{G}_1^T) =$$

$$= \begin{pmatrix} \tau_{1k} & \varepsilon & \varepsilon & \varepsilon & \varepsilon \\ \tau_{1k} \otimes \tau_{2k} & \tau_{2k} \otimes \tau_{3k} & \tau_{2k} \otimes \tau_{3k} & \varepsilon & \varepsilon \\ \varepsilon & \tau_{3k} & \tau_{3k} & \varepsilon & \varepsilon \\ \tau_{1k} \otimes \tau_{2k} \otimes \tau_{4k} & \tau_{2k} \otimes \tau_{3k} \otimes \tau_{4k} & \tau_{2k} \otimes \tau_{3k} \otimes \tau_{4k} & \tau_{4k} & \varepsilon \\ \varepsilon & \varepsilon & \tau_{5k} & \tau_{5k} & \tau_{5k} \end{pmatrix}.$$

### Многофазные системы

Многофазные системы могут рассматриваться как сети с простейшей (линейной) топологией [8–14]. Рассмотрим открытую многофазную систему с неограниченной емкостью накопителей, изображенную на рис. 2.



Рис. 2. Открытая многофазная система

Легко видеть, что уравнение (5) для многофазной системы принимает вид

$$u_i(k) = \begin{cases} \varepsilon, & \text{если } i = 1, \\ x_{i-1}(k), & \text{если } i \neq 1. \end{cases}$$

В силу того, что теперь  $M = 0$ , имеем одну матрицу

$$\mathbf{G}_0 = \begin{pmatrix} \varepsilon & 0 & \varepsilon \\ \vdots & \ddots & \ddots \\ \vdots & & 0 \\ \varepsilon & \dots & \dots & \varepsilon \end{pmatrix},$$

которая совпадает с матрицей смежности графа, описывающей топологию всей системы, т. е.  $\mathbf{G}_0 = \mathbf{G}$ .

Полагая  $\mathbf{G}_1 = \mathbf{\Sigma}$ , получаем уравнение (1) с матрицей

$$\mathbf{A}(k) = (\mathbf{E} \oplus \mathbf{T}_k \otimes \mathbf{G}_0^T)^{n-1} \otimes \mathbf{T}_k = \begin{pmatrix} \tau_{1k} & \varepsilon & \dots & \varepsilon \\ \tau_{1k} \otimes \tau_{2k} & \tau_{2k} & & \varepsilon \\ \vdots & \vdots & \ddots & \vdots \\ \tau_{1k} \otimes \dots \otimes \tau_{nk} & \tau_{2k} \otimes \dots \otimes \tau_{nk} & \dots & \tau_{nk} \end{pmatrix}.$$

*Многофазная система с конечной емкостью накопителей.* Предположим, что все узлы открытой многофазной системы, за исключением узла 1, могут иметь ограниченную емкость накопителей (рис. 3).

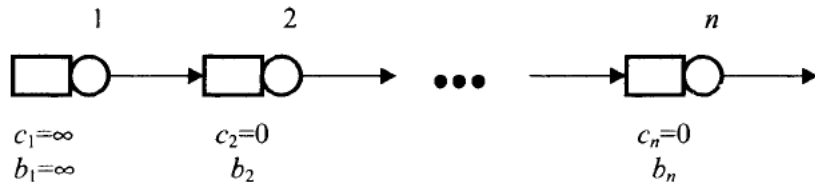


Рис. 3. Открытая многофазная система с конечной емкостью накопителей

Рассмотрим производственный тип блокировки. Пусть  $b_2 = \dots = b_n = 0$ . Нетрудно видеть, что для рассматриваемой системы  $M = 1$  и  $\mathbf{H}_1 = \mathbf{G}_0$  и  $\mathbf{G}_1 = \mathbf{\Sigma}$ . Матрица системы имеет вид

$$\begin{aligned} \mathbf{A}(k) &= (\mathbf{E} \oplus \mathbf{T}_k \otimes \mathbf{G}_0^T)^{n-1} \otimes (\mathbf{T}_k \oplus \mathbf{G}_0) = \\ &= \begin{pmatrix} \tau_{1k} & 0 & \epsilon & \dots & \epsilon \\ \tau_{1k} \otimes \tau_{2k} & \tau_{2k} & 0 & & \epsilon \\ \vdots & \vdots & & \ddots & \\ \tau_{1k} \otimes \dots \otimes \tau_{n-1,k} & \tau_{2k} \otimes \dots \otimes \tau_{n-1,k} & \tau_{3k} \otimes \dots \otimes \tau_{n-1,k} & & 0 \\ \tau_{1k} \otimes \dots \otimes \tau_{nk} & \tau_{2k} \otimes \dots \otimes \tau_{nk} & \tau_{3k} \otimes \dots \otimes \tau_{nk} & \dots & \tau_{nk} \end{pmatrix}. \end{aligned}$$

Пусть теперь  $b_2 = \dots = b_n = 1$ . Учитывая, что для системы  $M = 2$ ,  $\mathbf{G}_1 = \mathbf{G}_2 = \mathbf{H}_1 = \mathbf{\Sigma}$ ,  $\mathbf{H}_2 = \mathbf{G}_0$  получим уравнение (11), где

$$\tilde{\mathbf{x}}(k) = \begin{pmatrix} x_1(k) \\ x_2(k) \end{pmatrix}, \quad \tilde{\mathbf{A}}(k) = \begin{pmatrix} (\mathbf{E} \oplus \mathbf{T}_k \otimes \mathbf{G}_0^T)^{n-1} \otimes \mathbf{T}_k & (\mathbf{E} \oplus \mathbf{T}_k \otimes \mathbf{G}_0^T)^{n-1} \otimes \mathbf{G}_0 \\ \mathbf{E} & \mathbf{\Sigma} \end{pmatrix}.$$

*Замкнутая многофазная система с неограниченной емкостью накопителей.* Пусть имеется замкнутая многофазная система, состоящая из  $n$  узлов (рис. 4).

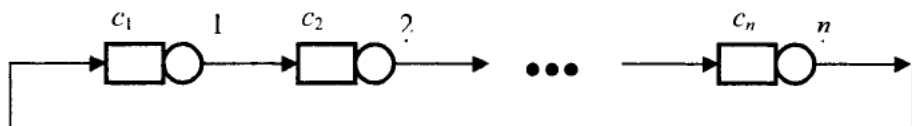


Рис. 4. Замкнутая многофазная система

Для рассматриваемой системы уравнение (5) принимает вид

$$u_i(k) = \begin{cases} x_n(k - c_i), & \text{если } i = 1, \\ x_{i-1}(k - c_i), & \text{если } i \neq 1. \end{cases}$$

В простейшем случае, когда  $r_i = 1$  для всех  $i = 1, \dots, n$ , имеем матрицы

$$\mathbf{G}_0 = \mathbf{\Sigma}, \quad \mathbf{G}_1 = \begin{pmatrix} \epsilon & 0 & \dots & \epsilon \\ \vdots & \ddots & \ddots & \vdots \\ \vdots & & \ddots & 0 \\ 0 & \dots & \dots & \epsilon \end{pmatrix}.$$

Теперь можно записать уравнение (1) с матрицей

$$\mathbf{A}(k) = \mathbf{T}_k \otimes (\mathbf{E} \oplus \mathbf{G}_1^T) = \begin{pmatrix} \tau_{1k} & \epsilon & \dots & \epsilon & \tau_{1k} \\ \tau_{2k} & \tau_{1k} & & \epsilon & \epsilon \\ \vdots & \ddots & \ddots & \ddots & \vdots \\ \epsilon & \epsilon & & \tau_{nk} & \tau_{nk} \end{pmatrix}.$$

*Система с карусельным механизмом маршрутизации.* В рассмотренных выше моделях систем использовалась некоторая постоянная для всех требований процедура маршрутизации, при которой требования, покидающие узел, направлялись к одним и тем же заранее определенным узлам. Однако модели сетей с синхронизацией могут быть также применены к описанию систем с переменной регулярной маршрутизацией. В таких системах требования после обслуживания в узле могут направляться к различным узлам, выбор которых осуществляется в соответствии с некоторой регулярной (например, циклической) процедурой определения маршрута.

Рассмотрим открытую систему, изображенную на рис. 5, которая состоит из  $n = l + 1$  узлов [9, 10].

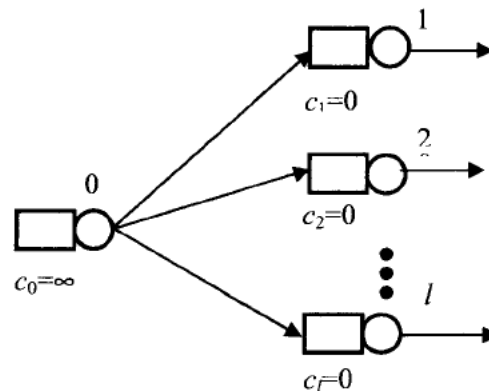


Рис. 5. Система с карусельным механизмом маршрутизации

Узел 0 представляет внешний источник требований. Каждое требование, поступающее в систему, направляется в один из узлов  $i = 1, \dots, l$  в соответствии с круговым (карусельным) механизмом маршрутизации, который состоит в сле-

дующем. Первое требование переходит в узел 1, второе – в узел 2, и т. д. После  $l$ -го требования, переданного в узел  $l$ , следующее  $(l+1)$ -е требование направляется в узел 1, и вся процедура повторяется снова. Подобный карусельный механизм маршрутизации используется, например, в гибких автоматизированных производственных системах, а также в моделях вычислительных систем и процессов.

Нетрудно видеть, что рассматриваемая система может быть заменена эквивалентной сетью с синхронизацией, представленной на рис. 6.

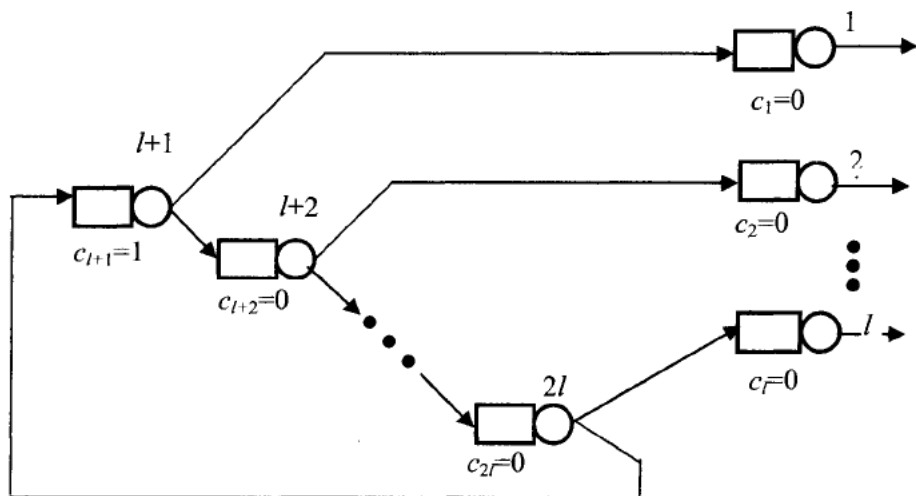


Рис. 6. Эквивалентная система с синхронизацией

Определим для новой системы продолжительность обслуживания  $k$ -го требования в узле  $i$  следующим образом:  $\tau_{ik} = \tau_{0,ik-2l+i}$ . Учитывая, что  $n = 2l$ ,  $M = 1$ , уравнение для  $u_i(k)$  записываем в виде

$$u_i(k) = \begin{cases} x_{l+i}(k), & \text{если } i = 1, \dots, l, \\ x_{2l}(k-1), & \text{если } i = l+1, \\ x_{i-1}(k), & \text{если } i = l+2, \dots, n, \end{cases}$$

а матрицы  $\mathbf{G}_0$  и  $\mathbf{G}_1$  – в виде

$$\mathbf{G}_0 = \begin{pmatrix} \mathbf{\Sigma}_{(l \times l)} & \mathbf{\Sigma}_{(l \times l)} \\ \mathbf{E}_{(l \times l)} & \mathbf{F}_{(l \times l)} \end{pmatrix}, \quad \mathbf{G}_1 = \begin{pmatrix} \mathbf{\Sigma}_{(l \times l)} & \mathbf{\Sigma}_{(l \times l)} \\ \mathbf{\Sigma}_{(l \times l)} & \mathbf{H}_{(l \times l)} \end{pmatrix},$$

где  $\mathbf{\Sigma}_{(l \times l)}$  и  $\mathbf{E}_{(l \times l)}$  – нулевая и единичная матрицы размера  $l \times l$ ,

$$\mathbf{F}_{(l \times l)} = \begin{pmatrix} \epsilon & 0 & & \epsilon \\ \vdots & \ddots & \ddots & \\ \vdots & & \ddots & 0 \\ \epsilon & \dots & \dots & \epsilon \end{pmatrix}, \quad \mathbf{H}_{(l \times l)} = \begin{pmatrix} \epsilon & \dots & \dots & \epsilon \\ \vdots & \ddots & & \vdots \\ \epsilon & & \ddots & \vdots \\ 0 & \epsilon & \dots & \epsilon \end{pmatrix}.$$

Нетрудно видеть, что граф, соответствующий матрице  $\mathbf{G}_0$ , является ациклическим, причем длина его наибольшего пути  $p=l$ . Следовательно, динамика системы описывается уравнением (1) с матрицей

$$\mathbf{A}(k) = (\mathbf{E} \oplus \mathbf{T}_k \otimes \mathbf{G}_0^T)^l \otimes \mathbf{T}_k \otimes (\mathbf{E} \oplus \mathbf{G}_1^T).$$

В частном случае при  $l=3$  получим матрицу

$$\mathbf{A}(k) = \begin{pmatrix} \tau_{1k} & \epsilon & \epsilon & \epsilon & \epsilon & \tau_{1k} \otimes \tau_{4k} \\ \epsilon & \tau_{2k} & \epsilon & \epsilon & \epsilon & \tau_{2k} \otimes \tau_{4k} \otimes \tau_{5k} \\ \epsilon & \epsilon & \tau_{3k} & \epsilon & \epsilon & \tau_{3k} \otimes \tau_{4k} \otimes \tau_{5k} \otimes \tau_{6k} \\ \epsilon & \epsilon & \epsilon & \epsilon & \epsilon & \tau_{4k} \\ \epsilon & \epsilon & \epsilon & \epsilon & \epsilon & \tau_{4k} \otimes \tau_{5k} \\ \epsilon & \epsilon & \epsilon & \epsilon & \epsilon & \tau_{4k} \otimes \tau_{5k} \otimes \tau_{6k} \end{pmatrix}.$$

### Показатели эффективности в многофазных системах

Для некоторых типов моделей описанный выше алгебраический подход позволяет записать динамические уравнения не только для вектора состояний системы, но также и для ряда показателей эффективности систем [8].

Рассмотрим открытую многофазную систему с неограниченной емкостью накопителей (рис. 2). Обозначим через  $s_i(k)$  время пребывания  $k$ -го требования в узлах с 1-го по  $i$ -й. Учитывая, что первый узел служит для представления внешнего потока требований, положим  $s_1(k)=0$ . Нетрудно видеть, что для всех  $i=1,\dots,n$  выполняется следующее равенство:  $s_i(k)=x_i(k)-x_1(k)$ . Введем вектор  $\mathbf{s}(k)=(s_1(k),\dots,s_n(k))^T$  и перейдем к матричной записи:

$$\mathbf{s}(k) = \mathbf{x}(k) \otimes x_1^{-1}(k).$$

Используя динамическое уравнение для вектора  $\mathbf{x}(k)$ , а также очевидное равенство  $x_1(k)=x_1(k-1) \otimes \tau_{1k}$ , получаем

$$\mathbf{s}(k) = \mathbf{A}(k) \otimes \mathbf{x}(k-1) \otimes x_1^{-1}(k-1) \otimes \tau_{1k}^{-1}.$$

Последнее уравнение может быть приведено к виду

$$\mathbf{s}(k) = \mathbf{B}(k) \otimes \mathbf{s}(k-1), \quad (15)$$

где  $\mathbf{B}(k) = \tau_{1k}^{-1} \otimes \mathbf{A}(k)$ .

### Время ожидания требований

Обозначим через  $w_i(k)$  суммарное время ожидания обслуживания требованием  $k$  в узлах с 1-го по  $i$ -й. Учитывая, что время пребывания требования в системе складывается из времени обслуживания и времени ожидания, можно записать

$$s_i(k) = w_i(k) = 0, \quad s_i(k) = w_i(k) + \sum_{j=2}^i \tau_{jk}$$

для всех  $i = 2, \dots, n$ . Ясно, что эти уравнения можно представить в матричной форме:

$$\mathbf{s}(k) = \boldsymbol{\tau}_{1k}^{-1} \otimes \mathbf{P}_k \otimes \mathbf{w}(k), \quad \mathbf{P}_k = \begin{pmatrix} \boldsymbol{\tau}_{1k} & \epsilon & \dots & \epsilon \\ \epsilon & \boldsymbol{\tau}_{1k} \otimes \boldsymbol{\tau}_{2k} & & \epsilon \\ \vdots & & \ddots & \\ \epsilon & \epsilon & & \boldsymbol{\tau}_{1k} \otimes \dots \otimes \boldsymbol{\tau}_{nk} \end{pmatrix}.$$

В силу того, что  $\mathbf{P}_k$  является диагональной матрицей, для которой существует обратная матрица, полученное уравнение можно преобразовать к виду

$$\mathbf{w}(k) = \boldsymbol{\tau}_{1k}^{-1} \otimes \mathbf{P}_k^{-1} \otimes \mathbf{s}(k).$$

Применяя (15), последовательно получаем

$$\begin{aligned} \mathbf{w}(k) &= \boldsymbol{\tau}_{1k}^{-1} \otimes \mathbf{P}_k^{-1} \otimes \boldsymbol{\tau}_{1k}^{-1} \otimes \mathbf{A}(k) \otimes \mathbf{s}(k-1) = \\ &= \boldsymbol{\tau}_{1,k-1}^{-1} \otimes \mathbf{P}_k^{-1} \otimes \mathbf{A}(k) \otimes \mathbf{P}_{k-1} \otimes \mathbf{w}(k-1). \end{aligned}$$

Теперь можно записать динамическое уравнение для времени ожидания в виде

$$\mathbf{w}(k) = \mathbf{C}_{k,k-1}(k) \otimes \mathbf{w}(k-1), \quad (16)$$

где

$$\mathbf{C}_{k,k-1} = \boldsymbol{\tau}_{1,k-1}^{-1} \otimes \mathbf{P}_k^{-1} \otimes \mathbf{A}(k) \otimes \mathbf{P}_{k-1}.$$

Заметим, что уравнение (16) остается в силе для многофазных систем с ограниченной емкостью накопителей. При этом, однако, величина  $w_i(k)$  будет включать не только время ожидания обслуживания, но и время, в течении которого требование было заблокировано.

### Литература

1. Бачелли Ф., Маковски А. М. Использование методов теории массового обслуживания для анализа систем с ограничениями по синхронизации // ТИИЭР. 1989. Т. 1. № 1. С. 99–128
2. Воробьев Н. Н. Экстремальная алгебра положительных матриц // ЕИК. 1967. Bd. 3, N 1. S. 39–72.
3. Маслов В.П., Колокольцов В. Н. Идемпотентный анализ и его применение в оптимальном управлении. М.: Физматлит, 1994.

4. Кривулин Н.К., Милов Д. С. Оценивание среднего времени работы для одного класса сетей с очередями // Дискретные модели. Анализ, синтез и оптимизация / Под ред. М.К. Чиркова, С.П. Маслова. СПб.: СПбГУ, 1998. С. 228–242 (Вычислительная техника и вопросы кибернетики; Вып. 29).
5. Krivulin N. K. Bounds on mean cycle time in acyclic fork-join queueing networks // Proc. Intern. workshop on discrete event systems, Cagliari, Italy, Aug. 26–28, 1998. London: IEE, 1998. P. 469–474.
6. Krivulin N. K. Monotonicity properties and simple bounds on the mean cycle time in acyclic fork-join queueing networks // Recent advances in information science and technology / Ed. N. Mastorakis. World Scientific, 1998. P. 147–152.
7. Krivulin N. K. Algebraic modelling and performance evaluation of acyclic fork-join queueing networks // Advances in stochastic simulation methods / Ed. N. Balakrishnan, V. Melas and S. Ermakov (Statistics for industry and technology). Boston: Birkhäuser, 2000. P. 63–81.
8. Krivulin N.K. A max-algebra approach to modeling and simulation of tandem queueing systems // Mathematical and computer modelling. 1995. Vol. 22. N 3. P. 25–37.
9. Krivulin N. K. An algebraic approach in modelling and simulation of queueing networks // Circuits, systems and computers'96: Proc. Intern. conf., July 15–17, 1996, Piraeus, Greece. Hellenic Naval Academy 1996. Vol. 2. P. 668–672.
10. Krivulin N. K. The max-plus algebra approach in modelling of queueing networks // Proc. 1996 SCS Summer computer simulation conf., July 21–25, 1996, Portland, OR / Ed. V.W. Ingalls, J. Cynamon, A. Saylor. San Diego: SCS, 1996. P. 485–490.
11. Krivulin N. K. Max-plus algebra models of queueing networks // Proc. Intern. workshop on discrete event systems, University of Edinburgh, UK, Aug. 19–21, 1996. London: IEE, 1996. P. 76–81.
12. Krivulin N. K. An algebraic approach to modeling and simulation of tandem queueing systems // Proc. Europ. simulation multiconf., Prague, Czech Republic, June 5–7, 1995 / Ed. M. Snorek, M. Sujansky, A. Verbraeck. P. 271–275.
13. Krivulin N. K. Algebraic models in simulation of tandem queueing systems // Proc. 1995 Summer computer simulation conf. / Ed. T.I. Oren, L.G. Birta San Diego: Simulation Councils Inc., 1995. P. 9–14.
14. Krivulin N. K. Using max-algebra linear models in the representation of queueing systems // Proceedings of the 5th SIAM conference on applied linear algebra (Snowbird, UT, June 15–18, 1994). Philadelphia: SIAM. P. 155–160.